

ДИСПЕРСИЯ ЭНЕРГЕТИЧЕСКОЙ ЩЕЛИ В СЛОИСТЫХ КУПРАТАХ. МОДЕЛЬ МОНОСЛОЯ

М.В.Еремин¹⁾, И.А.Ларионов

Казанский государственный университет

420008 Казань, Россия

Поступила в редакцию 27 июня 1995 г.

Найдены самосогласованные решения уравнения БКШ при различных значениях химического потенциала. Для уровня Ферми вблизи дна (потолка) зоны решения соответствуют *s*-типу спаривания, в то время как для ϵ_F в центре зоны решения относятся к *d*-типу. Показано, что взаимодействие синглетов Жанга-Райса через поле фононов дает значения энергетической щели, согласующиеся с экспериментальными данными.

Исследование зависимости энергетической щели от волнового вектора в купратах – одна из важнейших проблем ВТСП. Она была в центре дискуссий недавней станфордской конференции по спектроскопии новых сверхпроводников [1]. Три типа зависимостей особенно привлекали внимание:

1) $\Delta_1(k) = \Delta_0[\cos(k_x a) - \cos(k_y a)]$ – так называемый *d*-тип спаривания, обычно связываемый со спиновыми флуктуациями спинов меди [2, 3];

2) $\Delta_2(k) = \Delta_0|\cos(k_x a) - \cos(k_y a)|$ – анизотропный тип *s* спаривания, предложенный в [4] в связи с возможностью туннелирования куперовских пар из одного слоя в другой;

3) $\Delta_3(k) = \Delta_{xy} \cos(k_x a) \cos(k_y a)$ – так называемый *s_{xy}*-тип спаривания, введенный Норманом и др. [5] на основе недавних фотоэмиссионных данных для $\text{Bi}_2\text{Sr}_2\text{CaCu}_2\text{O}_8$ [6].

Как показали расчеты [7], последняя зависимость допускается уравнением БКШ для монослоя при странном, однако, предположении, что взаимодействие вторых соседей в плоской решетке атомов меди примерно в 1,5 раза больше (!), чем взаимодействие ближайших атомов меди, причем величина этого взаимодействия должна быть порядка $-0,15$ эВ, то есть очень велика. Для сравнения укажем, что суперобменное взаимодействие спинов меди (между первыми соседями (!)) не превышает $0,13$ эВ. В настоящем сообщении мы приводим результаты наших численных решений уравнения БКШ, оставаясь, однако, в рамках разумных значений потенциала спаривания. В дополнение к результатам работы [7] для монослоя мы исследовали поведение решения при малом допировании и неожиданно нашли, что уравнение БКШ допускает решения *s* типа даже для потенциала спаривания типа

$$-2|V_1|[\cos(q_x a) + \cos(q_y a)], \quad (1)$$

который, как часто считается, можно приводить лишь к щели *d*-типа.

Мы исследовали также характер решений на энергетическую щель в классе потенциала спаривания вида

$$V(q) = -2|V_1|[(1 + \alpha)\cos(q_x a) + (1 - \alpha)\cos(q_y a)] - 4|V_2|\cos(q_x a)\cos(q_y a), \quad (2)$$

¹⁾ e-mail: eremin@open.ksu.ras.ru.

где параметры V_1 и V_2 имеют смысл потенциала взаимодействия первых и вторых соседей через поле деформаций, а α – параметр, учитывающий ромбичность. В случае достаточно сильного допирования, когда уровень Ферми оказывается уже в районе середины зоны, решения являются смешанными (s - и d -типа). Рассчитанные значения щели и T_c по порядку величины согласуются с имеющимися экспериментальными данными.

В работе [8] было показано, что элементарные возбуждения нормальной фазы купратов могут быть описаны как движение синглетно-коррелированных дырок кислорода. Результаты численных расчетов [8] были повторены в [9] методом последовательных канонических преобразований, позволившем записать энергетический спектр возбуждений в аналитическом виде:

$$\epsilon_{1k} = \frac{\epsilon_{pk} + \epsilon_{dk}}{2} + \frac{1}{2} \left\{ (\epsilon_{pk} - \epsilon_{dk})^2 - (1 - \delta^2)(t_k^{(12)})^2 \right\}^{1/2}, \quad (3)$$

где δ – число допированных дырок в расчете на одну позицию меди,

$$\begin{aligned} \epsilon_{pk} &= \epsilon_p^* + \frac{1}{2}(1 + \delta) \sum_j t_{ij}^{(1)} \exp[-k(R_i - R_j)], \\ \epsilon_{dk} &= \epsilon_d + \frac{1}{2}(1 - \delta) \sum_j t_{ij}^{(2)} \exp[-k(R_i - R_j)], \\ t_k^{(12)} &= \sum_j t_{ij}^{(12)} \exp[-k(R_i - R_j)]. \end{aligned} \quad (4)$$

Значения эффективных интегралов переноса t_{ij} приведены в [9], разность $\epsilon_p^* - \epsilon_d$ составляет 0,4 эВ. Выражение (3) удовлетворительно повторяет рассчитанную в [8] картину плотности состояний, в которой имеется два пика. Один из них связан с так называемыми седловыми точками вдоль координатных осей k_x , k_y , а другой находится вблизи дна зоны и соответствует "крыльям" энергетической поверхности ϵ_{1k} .

В соединениях типа $\text{La}_{2-x}\text{Sr}_x\text{CuO}_2$ уровень Ферми, по нашим представлениям, находится вблизи дна зоны, в то время как в бислойных соединениях типа $\text{YBa}_2\text{Cu}_3\text{O}_8$ или $\text{Bi}_2\text{Sr}_2\text{CaCu}_2\text{O}_8$ он оказывается уже в районе середины нижней связывающей зоны. Верхнюю антисвязывающую зону в данном случае мы не учитываем, и таким образом моно- и бислойные соединения рассматриваем в рамках одной изолированной зоны с различной степенью ее заполнения.

Два важных взаимодействия не учитывались при расчете энергетического спектра нормальной фазы [8, 9]: суперобменное взаимодействие спинов меди в плоскостях CuO_2 ,

$$V_1^{(ij)} = J_{ij}[1/2 - 2(S_i S_j)], \quad (5)$$

и взаимодействие синглетов Жанга-Райса через тетрагональные деформационные моды [10]

$$V_2^{(ij)} = -\frac{d^2 d^j}{8\pi C_{44} R_{ij}^3} \left[4(1 - 2\gamma^2) - 6(3 - 4\gamma^2) \frac{X_{ij}^2 + Y_{ij}^2}{R_{ij}^2} + 15(1 - \gamma^2) \frac{(X_{ij}^2 + Y_{ij}^2)^2}{R_{ij}^4} \right]. \quad (6)$$

Параметр суперобменной связи $2J_{ij} \approx 0,12$ эВ [11]. Значение упругого модуля $C_{44} = 48,3 \cdot 10^{10}$ дин/см² для кристалла $\text{YBa}_2\text{Cu}_3\text{O}_7$ недавно измерено Ледбеттером и др. [12]. Ими же измерено и отношение скоростей продольного и

поперечного звуков $\gamma = 0,582$. Значение параметра деформационного потенциала с тетрагональной модой ($d_i = d_j \approx 6$ эВ) было оценено ранее в [10].

Используя указанные значения, мы находим, что потенциал взаимодействия между первыми и вторыми соседями составляет $V_1 = -0,1$ эВ и $V_2 = -0,036$ эВ, соответственно.

Уравнение для энергетической щели $\Delta(k)$ имеет вид

$$\Delta(k) = \cos^2 \theta_k \sum_{k'} V(k - k') \cos^2 \theta_{k'} \frac{\Delta(k')}{2E_{k'}} \tanh \frac{E_{k'}}{2kT}, \quad (7)$$

где

$$E_{k'} = \sqrt{(\epsilon_{1k} - \mu)^2 + \Delta^2(k')}. \quad (8)$$

Появление множителя

$$\cos^2 \theta_k = \frac{\epsilon_{1k} - \epsilon_{kd}}{\sqrt{(\epsilon_{kp} - \epsilon_{kd})^2 + (t_k^{(12)})^2(1 - \delta^2)}} \quad (9)$$

связано с гибридизацией синглетно-коррелированной зоны дырок кислорода ϵ_{pk} с нижней хаббардовской зоной дырок меди ϵ_{dk} . Из (2) и (7) видно, что зависимость щели от волнового вектора в общем случае должна иметь вид

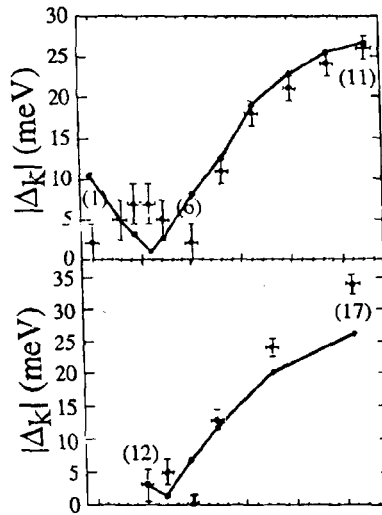
$$\Delta(k) = \{\Delta_x \cos k_x a + \Delta_y \cos k_y a + \Delta_{xy} \cos k_x a \cdot \cos k_y a + \\ + \Delta'_x \sin k_x a + \Delta'_y \sin k_y a + \Delta'_{xy} \sin k_x a \cdot \sin k_y a\} \cos^2 \theta_k, \quad (10)$$

где Δ_x , Δ_y , Δ_{xy} , Δ'_x , Δ'_y , и Δ'_{xy} - постоянные, которые определяются само-согласованно.

Рассчитанные значения параметров энергетической щели при различных значениях V_2 , α и μ

μ , ЭВ	$V_1 = -0,1, V_2 = 0$ $\alpha = 0$			$V_1 = -0,1, V_2 = -0,036$ $\alpha = 0$			$V_1 = -0,1, V_2 = -0,036$ $\alpha = 0,1$		
	Δ_x	Δ_y	Δ_{xy}	Δ_x	Δ_y	Δ_{xy}	Δ_x	Δ_y	Δ_{xy}
-0,10	1,4	1,4		2,3	2,3	1,3	2,7	1,9	1,3
-0,12	2,2	2,2		3,2	3,2	1,7	3,9	2,7	1,7
-0,14	2,2	2,2		3,5	3,5	1,6	4,4	2,7	1,7
-0,16	3,0	3,0		4	4	1,5	6	2,5	1,6
-0,18	12	-12		12	-12	0	16	-9	0,8
-0,20	18	-18		18	-18	0	22	-15	0,5
-0,23	20	-20		20	-20	0	24	-17	0,3
-0,25	18	-18		18	-18	0	21	-16	0,2
-0,30	11	-11		11	-11	0	12	-9	0
-0,35	3,2	-3,5		3,5	-3,5	0	4,2	-3	0
-0,40	0,8	-0,8		0,8	-0,8	0	1,8	0,5	-0,2
-0,42	-3	-3		-3,8	-3,8	1,2	-4,5	-3	1,2
-0,44	-6	-6		-7,5	-7,5	3,2	-9	-6,5	3,3
-0,46	-8	-8		-9,5	-9,5	5	-11	-8	5
-0,48	-8	-8		-9	-9	5	-10	-7,5	5
-0,50	-2	-2		-4	-4	2,5	-4,5	-3,5	2,5

Так же как и в [7], мы нашли, что в процессе самосогласования Δ'_x , Δ'_y , Δ'_{xy} – амплитуды синусов оказываются ничтожно малыми. Рассчитанные значения Δ_x , Δ_y , Δ_{xy} приведены в таблице. Начало отсчета энергии совмещено с потолком зоны. Пик плотности состояний, связанный с седловыми точками, соответствует $\epsilon = -0,2$ эВ. Из приведенных данных видно, что вблизи дна зоны решение всегда s -типа, в то время как в районе центра зоны оно преимущественно d -типа. Перемешивание решений d - и s -типов обусловлено ромбичностью кристалла. В случае тетрагональной симметрии решения s - и d -типов исключают друг друга.



Найденный нами характер изменения решений на щель в зависимости от положения ϵ_F коррелирует с имеющимися экспериментальными данными. В так называемых электронных сверхпроводниках $\text{Nd}_{2-x}\text{Ce}_x\text{CuO}_4$ уровень Ферми отстоит от седлового пика на величину 0,35 эВ (то есть находится у дна зоны) [13]. Все используемые методы определения симметрии щели показывают [1], что в них реализуется s тип спаривания. В сверхпроводниках $\text{YBa}_2\text{Cu}_4\text{O}_8$, $\text{Bi}_2\text{Sr}_2\text{CaCu}_2\text{O}_8$ и др. уровень Ферми отстоит от седлового пика на величину 0,03 эВ (то есть находится в центре зоны) [13]. Эти сверхпроводники в большинстве экспериментов [1] показывают d -тип спаривания. Исключением считаются данные фотоэмиссии [6], представленные на рисунке. На оси ординат цифрами указана нумерация различных точек зоны Бриллюэна. Цена деления горизонтальных осей та же, что и в [6]. Сплошная линия – результаты нашего расчета при $\mu = -0,2$. Видно разногласие расчета и эксперимента лишь в районе точек 1–6. Этот вопрос, очевидно, требует дальнейших исследований, как теоретических, так и экспериментальных. В целом же расчетная кривая коррелирует с фотоэмиссионными данными [6]. Отметим, что рассчитанное нами значение критической температуры T_c при $\mu = -0,2$ равно 90 К, то есть соответствует реальным критическим температурам этих соединений: $T_c = 92$ К и 85 К для $\text{YBa}_2\text{Cu}_4\text{O}_8$ и $\text{Bi}_2\text{Sr}_2\text{CaCu}_2\text{O}_8$, соответственно.

Авторы благодарны М.Р.Норману за предоставленную возможность ознакомиться с препринтами статей [5, 7] до их публикации.

-
1. *Spectroscopies in Novel Superconductors*, Abstracts, March 15-18, 1995, Stanford Linear Accelerator Center, Stanford University.
 2. D.Scalapino, E.Loh Jr., and J.E.Hirsch. *Phys. Rev. B* **34**, 8190 (1986); *ibid* **35**, 6694 (1987).
 3. A.J.Millis, H.Monien, and D.Pines, *Phys. Rev. B* **42**, 167 (1990).
 4. S.Chakravarty, A.Sudbo, P.W.Anderson, and S.Strong, *Science* **261**, 337 (1993).
 5. M.R.Norman, M.Randeria, H.Ding, and J.C.Campuzano, Phenomenological Models for the Gap Anisotropy of Bi-2212 as Measured by ARPES, Preprint, 1995.
 6. H.Ding, J.C.Campuzano, A.F.Bellman et al., *Phys. Rev. Lett.* **74**, 2784 (1995).
 7. R.Fehrenbacher and M.R.Norman, Phenomenological BCS theory of the high- T_c cuprates. Preprint, 1995.
 8. М.В.Еремин, С.Г.Соловьянов, С.В.Варламов и др., *Письма в ЖЭТФ* **60**, 118 (1994).
 9. M.V.Eremin, S.G.Solovjanov, and S.V.Varlamov, *Phys. Chem. Solids*, 1995 (in print).
 10. M.V.Eremin, *Z.Naturforsch.* **49a**, 385 (1994).
 11. S.Shamoto, M.Sato, J.M.Tranquada et al., *Phys. Rev. B* **48**, 13817 (1993).
 12. H.Ledbetter, M.Lei, A.Hermann, and Zh.Sheng, *Physica C* **225**, 397 (1994).
 13. D.M.King, Z.-X.Shen, D.S.Dessau et al., *Phys. Rev. Lett.* **73**, 3298 (1994).